

شماره ۱۱۴، بهار ۱۳۹۶

صفص: ۶۵-۲۶

## بررسی چند شکلی تکنولوژی ناحیه پرومотор ژن TFAM و ارتباط آن با صفات رشد در گاو سیستانی

### حسین مرادقلی

دانش آموخته کارشناسی ارشد ژنتیک و اصلاح دام، گروه علوم دامی، دانشگاه زابل

### غلامرضا داشاب (نویسنده مسئول)

استادیار ژنتیک و اصلاح دام، گروه علوم دامی، دانشگاه زابل.

### مهدی وفای واله

استادیار ژنتیک و اصلاح دام، گروه علوم دامی، دانشگاه زابل

تاریخ دریافت: اردیبهشت ۱۳۹۵      تاریخ پذیرش: خرداد ۱۳۹۵

شماره تماس نویسنده مسئول: ۰۹۱۵۵۴۴۱۴۷۹

Email: dashab@uoz.ac.ir

### چکیده

گاو سیستانی نژاد گوشی و از ذخایر ژنتیکی با ارزش کشور است که از لحاظ تولید گوشت، کمیت و کیفیت لاشه و بازده غذایی مناسب است. در پژوهش حاضر، به منظور بررسی چندشکلی ژن TFAM (Mitochondrial transcription factor A) با استفاده از PCR-RFLP از ۱۵۰ رأس گاو سیستانی به صورت تصادفی و انفرادی خون‌گیری از ورید گردی انجام گرفت. سپس نمونه‌های خون دامها با روش شستشوی نمکی بهینه شده استخراج و کیفیت آن‌ها با الکتروفورز ژل آگارز ۱ درصد بررسی گردید. ناحیه پرومotor جایگاه TFAM به طول ۸۰.۱ bp با روش PCR تکثیر و محصول PCR توسط آنزیم *BsuRI* برش داده شد. محصولات هضم شده توسط الکتروفورز با ژل آگارز ۳ درصد و رنگ آمیزی اتیدیوم برماید نمایان‌سازی گردیدند. با توجه به این که آنزیم برشی مذکور در قطعه تکثیر شده دارای چندین سایت برشی می‌باشد، نتایج الگوی هضمی در حیوانات هموزیگوت (AA) سه باند با اندازه ۱۵۲، ۱۸۷ و ۴۶۲ جفت باز، در حیوانات هetrozیگوت (CC) چهار باند با اندازه ۱۰۴، ۸۳، ۱۵۲ و ۴۶۲ جفت باز و نهایتاً در حیوانات هتروزیگوت (AC) پنج باند با اندازه‌های ۱۰۴، ۱۵۲، ۱۸۷، ۸۳ و ۴۶۲ جفت باز مشاهده شده و هتروزیگوستی آماری با استفاده از نرم افزار POPGENE3.2 مورد تجزیه و تحلیل قرار گرفتند. جمعیت در جایگاه گردید. داده‌های آماری با انتظار از تعادل هاردی- واینرگ را نشان داد ( $P < 0.05$ ). شاخص شانون(I)، شاخص نئی، هتروزیگوستی مشاهده شده و هتروزیگوستی مورد انتظار به ترتیب، ۶۹، ۴۹، ۳۷، ۵۰ درصد محاسبه شدند. در مطالعه حاضر ارتباط معنی‌داری بین ژنتیک‌های گاو سیستانی در جایگاه ژن TFAM با صفات رشد مشاهده نشد.

واژه‌های کلیدی: گاو سیستانی، صفات رشد، افزایش وزن، ژن TFAM

Animal Science Journal (Pajouhesh &amp; Sazandegi) No 114 pp: 65-76

**Polymorphism of TFAM gene and its association with growth traits in Sistani cattle**By: Hossein Moradgholi<sup>1</sup>, Gholam Reza Dashab<sup>2\*</sup>, Mehdi Vafaei Valeh<sup>2</sup>

1: MS.c of Animal Breeding and Genetic, Department of Animal Science, University of Zabol.

2: Assistant professor of Animal Breeding and Genetic, Department of Animal Science, University of Zabol, Email: dashab@uoz.ac.ir

**Received: March 2016****Accepted: May 2016**

Sistani beef cattle is a native breed of east of Iran that as a valuable genetic resource in the tropical area could be good a candidate to produce high quantity of muscular carcass portions with high efficiency. In order to explore the Mitochondrial transcription factor A gene (TFAM) polymorphisms using PCR-RFLP, 150 Sistani cows were randomly selected and then blood samples were taken from the jugular vein of each animal individually. Thereafter, blood samples were salting-out and electrophoresed with 1% agarose gel. The position of the TFAM promoter region amplified by PCR and PCR products with 801bp length were sliced by *BsuRI* enzyme. Digestion products on 3% agarose gel were shown by electrophoresis and staining with ethidium bromide. The patterns of digestion in AA homozygotes, CC homozygotes, and AC heterozygotes were as follows: three bands with 152, 187, and 462bp; four bands with 83, 104, 152, and 462bp; and five bands with 83, 104, 152, 187, and 462bp, respectively. The results showed that the position of TFAM population deviated from the Hardy-Weinberg equilibrium ( $P < 0.05$ ). Shannon index (I), Nei index, observed heterozygosity, and expected heterozygosity were 0.69, 0.49, 0.37, and 0.50, respectively. In conclusion, no significant differences between genotypes of Sistani cattle were observed for TFAM gene polymorphism and growth traits.

**Key words:** Sistani cattle, Growth traits, Daily gain, TFAM gene.**مقدمه**

mtDNA در پستانداران بین ۱۶ تا ۱۸ کیلو باز متغیر است. mtDNA گاو مولکول حلقوی دو رشته به اندازه ۱۶۶۶۶ چفت باز می‌باشد و شامل ۳۷ عدد ژن به هم چسبیده بوده که تنها توسط چند نوکلوتید از هم جدا شده‌اند. دو ژن آن رمز کننده rRNA (۱۲S و ۱۶S rRNA)، ۲۲ ژن رمز کننده tRNA و ۱۳ ژن آن رمز کننده پلی‌پپتیدهایی می‌باشد که همگی از ترکیبات زنجیره تنفسی هستند (Woodward, ۲۰۰۸).

سال‌ها تصور می‌شد، بافت چربی نقش اصلی در تنظیم و متابولیسم انرژی از طریق ترشح، ذخیره‌سازی و حمل و نقل تری‌گلیسریدها دارند. اما با کشف میتوکندری در درون سلول‌ها دیدگاه‌ها تغییر کرد؛ زیرا بسیاری از متابولیت‌های مورد نیاز برای سنتز تری-

شو اهد امروزی، نظریه همزیستی درونی (Endosymbiosis) را تقویت کرده و تأکید دارد که میتوکندری از باکتری‌های قدیمی مشتق شده است که با اندازه ۱-۵/۰ میکرومتر درون سیتوپلاسم سلول‌های هسته‌دار (یوکاریوتی) واقع شده و دارای DNA خارج هسته‌ای به نام mtDNA است (Beltinger و همکاران، ۲۰۰۰). میتوکندری از بزرگ‌ترین اندامک‌های سلول بوده که ۲۵ درصد حجم سیتوپلاسم را اشغال می‌کند. تعداد آن در سلول‌ها از چند صد تا چند هزار متغیر است. هر میتوکندری دارای ۲ تا ۱۰ نسخه از DNA است. در نتیجه به طور معمول هر سلول دارای  $10^3$  تا  $10^4$  نسخه mtDNA می‌باشد که توسط DNA نوکلئاری هسته (nuclear DNA) تنظیم می‌شود (Schon و Dimauro, ۲۰۰۱). اندازه

bp، ناحیه اگزون ۵ به طول bp ۳۹۲، ناحیه اگزون ۶ به طول bp ۴۵۶، ناحیه ایترنون ۵ به طول bp ۲۲۲، ناحیه ایترنون ۶ و ناحیه اگزون ۷ به طول ۷۳۶bp گزارش شد (Woodward، ۲۰۰۸). در تحقیق آمیخته‌های حاصل از تلاقی گاوهاي Wagyu×Limousin، دو جهش نقطه‌ای (SNP) در ناحیه پروموموتور ژن TFAM گزارش گردید. اولین جهش در موقعیت ۱۲۲۰-۱۲۲۱ قرار دارد که منطقه برشی آنزیم *BsuRI* است، که باز آدنین (A) به سیتوزین (C) تبدیل شده است. دومین جهش (C/T) TFAM *MboI* واقع شده که در موقعیت ۱۲۱۲-۱۲۱۳ قرارداد (Jiang و Hmكاران، ۲۰۰۵). نتایج نشان داده اند که چند شکلی نواحی فوق مرتبط با کیفیت لاشه و ضخامت چربی زیر پوست هستند (Jiang و Hmكاران، ۲۰۰۷؛ Amaral و Hmكاران، ۲۰۰۵).

نتایج مطالعات محققین نشان دادند که هر دو SNPها پروموموتور ژن TFAM گاو به طور مشترک و یا به طور جداگانه منجر به افزایش کیفیت گوشت از طریق افزایش چربی داخل عضله می‌گردند. همچنین، مقایسه ژن TFAM با ژن‌های LEP، TG و DGAT1 اثر قابل توجه ژن TFAM بر کیفیت لاشه را نشان داد (Kaplanová و Hmكاران، ۲۰۰۹).

گاو سیستانی به عنوان یکی از پتانسیل‌ها و سرمایه‌های دامی کشور است که دارای استعدادها و قابلیت‌های ژنتیکی بالایی از نظر تولید گوشت می‌باشد. همچنین، خصوصیاتی مانند مقاومت به بیماری‌ها، تغییرات جوی و نیز کم توقعی این نژاد در کنار استعداد رشد و پروار شدن جبرانی گوساله‌های نر سیستانی در دوران پروواربندی، قابلیت تولید گوشت، کمیت و کیفیت لاشه و بازده غذایی و قابلیت پروواربندی مناسب در این نژاد قابل توجه می‌باشد (بیرجندي، ۱۳۷۶). لذا بررسی چندشکلی ژن TFAM و اثرات آن روی صفات مختلف در این نژاد بومی می‌تواند در تعیین استراتژی‌های اصلاح نژادی مفید باشد. بنابراین، هدف از تحقیق حاضر، بررسی چندشکلی تک نوکلثوتیدی ناحیه پروموموتور جایگاه ژن TFAM و ارتباط آن‌ها با صفات رشد در گاو سیستانی می‌باشد.

گلیسرید از زمان پیدایش میتوکندری شناخته شده است (Wilson و همکاران، ۱۹۹۸). سیستم میتوکندری‌ای، یکی از راه‌های تولید اسید چرب می‌باشد که عکس بتا اکسیداسیون عمل می‌کند (Kunej و همکاران، ۲۰۰۹).

Faکتور رونویسی میتوکندری (TFAM transcription factor A)، اولین عامل رونویسی میتوکندری شناسایی شده است (Clayton و Fisher، ۱۹۸۸) و به همراه پروتئین‌های گروه HMG (High Mobility Group) اساسی در بیان، تعمیر، نگهداری و سازماندهی ژنوم میتوکندری دارد (Chan و همکاران، ۲۰۱۲). پروتئین TFAM نقشی شبیه هیستون در هسته سلول دارد و به همراه رشته نوکلثوتیدی mtDNA است؛ زیرا مدارک و شواهد نشان می‌دهند، یک مولکول mtDNA به طور متوسط با ۹۰۰ مولکول TFAM بسته بندی شده تا DNA میتوکندری فشرده گردد (Ahmetov و Hmكاران، ۲۰۱۰). همچنین، TFAM عامل تنظیم تعداد کپی mtDNA در پستانداران است. با بررسی سطح بالا و پایین TFAM جنین موش مشخص شد که رابطه مستقیم بین سطح پروتئین TFAM و تعداد کپی mtDNA وجود دارد (Clayton، ۲۰۰۰). همچنین، بررسی بیان TFAM در سلول‌های هیلا (Hela) نیز نشان داد که مقدار mtDNA به صورت موازی با مقدار TFAM ارتباط دارد. بنابراین، TFAM نقش تحریک رونویسی mtDNA را دارد. از طرف دیگر با پروتئین‌های HMG متصل شده و باعث باز کردن پیچ و تاب DNA میتوکندری می‌گردد و در نتیجه شروع رونویسی از mtDNA تسهیل می‌گردد. شواهد و مدارک نشان داده که وارد نمودن TFAM به کبد موش‌های صحرایی سنتز RNA را تا ۴ برابر افزایش می‌دهد (Clayton، ۲۰۰۰).

با مطالعه ژن TFAM در انسان، موش، موش صحرایی، مرغ و گاو ۶ ناحیه اگزون و ۷ ناحیه ایترنون مشخص گردید. در توالی ژن TFAM گاوی شناسایی شده، ناحیه اگزون ۱ به طول bp ۴۰۵، ناحیه اگزون ۲ به طول bp ۴۰۱، ناحیه اگزون ۳ به طول bp ۴۰۷، ناحیه اگزون ۴ به طول bp ۴۲۱

## مواد و روش‌ها

جهت بررسی کمیت و کیفیت DNA از دو روش اسپکتروفتومتری و الکتروفورز بر روی ژل آگارز ۱ درصد استفاده شد.

الیگو نوکلئوتیدهای مورد استفاده در تحقیق حاضر شامل یک جفت آغازگر اختصاصی (Jiang و همکاران، ۲۰۰۵) بود که توسط شرکت الیگو (Oligo) سنتز گردید (جدول ۱). جایگاه ژن TFAM بر روی کروموزوم ۲۸ گاوی واقع شده است.

تحقیق حاضر بر روی گله گاو سیستانی موجود در ایستگاه تحقیقات (مرکز به گزینی گاو سیستانی) شهرستان زهک انجام گرفت. خون گیری از سیاهرگ وداجی تعداد ۱۵۰ رأس گاو سیستانی در لوله‌های حاوی ماده ضد انعقاد EDTA (۰/۵ درصد) انجام شد. در طی مدت استخراج DNA، نمونه‌ها در آزمایشگاه در دمای ۲۰-۲۰ درجه سانتی گراد نگهداری شدند. در تحقیق حاضر استخراج DNA به روش شستشوی نمکی بهینه شده انجام گرفت.

**جدول ۱- ویژگی‌های آغازگرهای اختصاصی جهت تکثیر ناحیه پرموتور ژن TFAM**

مکان ژنی	توالی پرایمرها رفت و برگشت	اندازه (جفت باز)	شماره دسترسی	منبع
بروموتور جایگاه ژنی TFAM	F:5'- GTTGTGCAGAAATCAGCTAAAATG -3' R:5'- CATCCACTGAGACTATCGCTGACCT -3'	801	NM_00320 1	Jiang و همکاران، ۲۰۰۵

دستگاه ترموسایکر مدل اپندرف انجام گرفت. فرآوردهای تکثیر شده حاصل از واکنش PCR بر روی ژل آگارز ۱/۵ درصد در ولتاژ ثابت ۸۰ به مدت یک ساعت الکتروفورز شدند و رنگ-آمیزی باندها در محلول اتیدیوم برومايد انجام گرفت. سپس ۶ میکرولیتر از محصول PCR در محیط بافری شامل ۲ میکرولیتر بافر B3 ۱۰XBuffer و در حضور ۰/۵ میکرولیتر آنزیم برشی *BsuRI* (10 unit/  $\mu$ L) در حجم ۲۰ میکرولیتر در دمای ۳۷ درجه سانتی گراد و به مدت ۱۲ ساعت مورد هضم آنزیمی قرار گرفت. نهایتاً جهت متوقف کردن فعالیت آنزیمی به مدت ۲۰ دقیقه در دمای ۸۰ درجه سانتی گراد در داخل بن ماری قرار داده شد. محصول برش یافته روی ژل آگارز ۳ درصد در ولتاژ ۸۰ به مدت ۲ ساعت الکتروفورز شد.

آنژیم *BsuRI* SNP ناحیه پرموتور باز آدنین (A) به سیتوزین (C) چهش یافته را شناسایی کرده و توالی مورد نظر را برش می-زند (Jiang و همکاران، ۲۰۰۵).

در تحقیق حاضر، واکنش PCR با استفاده از کیت Master (شرکت تکاپو زیست تهران) در حجم ۲۵ میکرولیتر در دستگاه ترموسیکلر اپندرف امریکا استفاده گردید. اجزای کیت شامل تیوب‌های استریل و یک عدد بافر با ترکیبات dNTP mix, Buffer 10X PCR Buffer, *Taq* DNA Polymerase, MgCL2 واکنش شامل ۱/۵ میکرولیتر بافر (10X), ۱ میکرولیتر پرایمر رفت (10 ng/ $\mu$ L)، ۱ میکرولیتر پرایمر برگشت (10 ng/ $\mu$ L)، ۳ میکرولیتر DNA (100 pmol/ $\mu$ L) و ۱۸/۵ میکرولیتر آب دیبونیزه بودند.

برنامه حرارتی شامل ۹۵ درجه سانتی گراد برای واسرشته سازی اولیه به مدت ۱۰ دقیقه، در ادامه ۳۵ سیکل با دمای ۹۵ درجه سانتی-گراد برای واسرشته سازی ثانویه به مدت ۴۵ ثانیه، دمای ۶۱ درجه سانتی گراد به منظور اتصال آغازگرهای آغازگرها به مدت ۴۵ ثانیه و دمای ۷۲ درجه سانتی گراد برای بسط آغازگرها به مدت ۴۵ ثانیه و نهایتاً آخرین مرحله بسط نهایی در دمای ۷۲ درجه سانتی گراد در

## تجزیه و تحلیل داده‌ها

همبسته برای اوزان ۳، ۶، ۹ و ۱۲ ماهگی در مدل وارد شد، اما به جهت این که معنی‌دار نبود در مدل نهایی حذف شد.

### نتایج و بحث

نتایج نشان دادند که استفاده از روش شستشوی نمکی بهینه شده برای استخراج DNA از نمونه خون از لحاظ کمیت و کیفیت و مدت زمان استحصال DNA مناسب می‌باشد. جهت اطمینان از کیفیت DNA نمونه‌ها بر روی ژل آگارز ۱٪ الکتروفورز گردید. نمونه‌ها دارای باندهای بدون شکستگی بوده و در نهایت کیفیت مطلوبی داشتند (شکل ۱).

تکثیر قطعه ۸۰۱ جفت بازی از ناحیه پرومотор ژن TFAM به کمک واکنش زنجیره‌ای پلیمراز (PCR) به خوبی صورت گرفت. قطعه ۸۰۱ جفت بازی بدون قطعات غیراختصاصی به دست آمد که با نتایج Jiang و همکاران (۲۰۰۵) بر روی آمیخته‌های حاصل از تلاقی گاوهای Wagyu×Limousin و Ayres و همکاران (۲۰۱۰) بر روی تلیسه‌های Nellore مطابقت داشت (شکل ۲).

پس از هضم محصول PCR توسط آنزیم *BsuRI*، محصولات هضم روی ژل آگارز ۳ درصد الکتروفورز گردیدند و قطعات حاصل از هضم توسط آنزیم برشی مورد شناسایی و بررسی قرار گرفت (شکل ۳). نتایج این مطالعه منجر به شناسایی سه ژنوتیپ

گرفت (شکل ۳). نتایج این مطالعه منجر به شناسایی سه ژنوتیپ

در جایگاه موردنظر مطالعه ژن TFAM شد.

جهت تجزیه و تحلیل تنوع ژنتیکی جمعیت از نرم افزار ۲.0 POPGENE (Yeh و همکاران، ۱۹۹۹) استفاده شد. به کمک این نرم افزار فراوانی ژنی و ژنوتیپی، تعادل هارדי-واینبرگ و سایر شاخص‌های تنوع ژنتیکی و جمعیتی محاسبه گردید.

برای تجزیه و تحلیل داده‌های مرتبط با رشد با ژنوتیپ‌های جایگاه مطالعه از مدل‌های خطی ثابت استفاده شد. صفات مورد مطالعه شامل وزن تولد (BW)<sup>۱</sup>، وزن از شیر گیری (W3)<sup>۲</sup>، وزن ۶ ماهگی (W6)<sup>۳</sup>، وزن ۹ ماهگی (W9)<sup>۴</sup> و وزن یک سالگی (YW)<sup>۵</sup> به همراه افزایش وزن دوره‌ای شامل تولد تا ۳ ماهگی (ADG1)<sup>۶</sup>، ۳ تا ۶ ماهگی (ADG2)<sup>۷</sup>، ۶ تا ۹ ماهگی (ADG3)<sup>۸</sup> و ۹ تا ۱۲ ماهگی (ADG4)<sup>۹</sup> بودند. جهت برآورده اثرات عوامل موجود در مدل از رویه GLM نرم افزار SAS (۲۰۰۹) استفاده گردید و مقایسه میانگین حداقل مربعات سطوح عوامل مورد مطالعه از روش توکی کرامر در سطح احتمال ۵ درصد انجام گرفت، مدل آماری عبارت است از:

$$Y_{ijk} = \mu + S_i + Y_j + G_k + e_{ijk}$$

در مدل بالا،  $Y_{ijk}$ ، رکورد فنوتیپی هر یک از صفات مرتبط با رشد؛  $S_i$ ، میانگین کل؛  $Y_j$ ، اثرات ثابت جنس (دو سطح)؛  $G_k$ ، اثر ثابت ژنوتیپ حیوان در جایگاه TFAM (سه سطح) و  $e_{ijk}$ ، خطای تصادفی عوامل غیرقابل کنترل یا باقیمانده می‌باشد. در ضمن وزن تولد به عنوان عامل

<sup>1</sup> Body weight

<sup>2</sup> Three months weight

<sup>3</sup> Six months weight

<sup>4</sup> Nine months weight

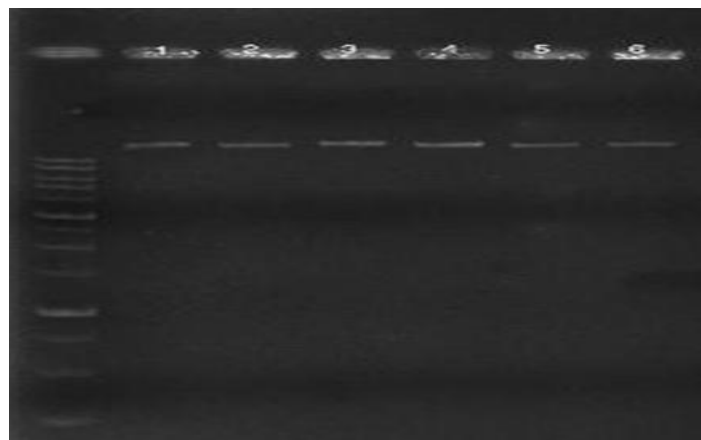
<sup>5</sup> Yearling weight

<sup>6</sup> Average daily gain from birth day to 3 months

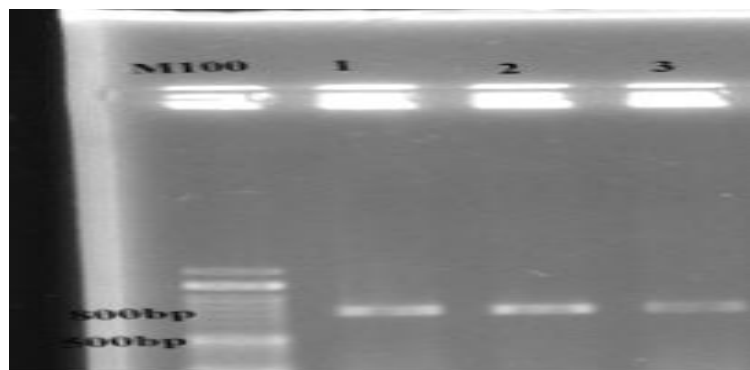
<sup>7</sup> Average daily gain from 3 to 6 months

<sup>8</sup> Average daily gain from 6 to 9 months

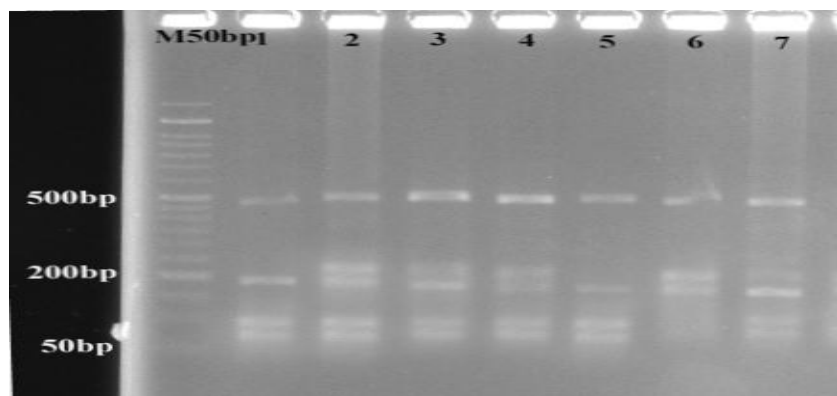
<sup>9</sup> Average daily gain from 9 to 12 months



شکل ۱- استخراج شده از خون کامل با استفاده از روش نمکی بهینه یافته گاوهاي سیستانی روی ژل آگارز ۱٪ (از سمت چپ: چاهک اول و سایر چاهک ها مربوط به نمونه های مختلف DNA است).



شکل ۲- الکتروفورز محصولات PCR برای جایگاه TFAM گاوهاي سیستانی بر روی ژل آگاروز ۱/۵٪ (از سمت چپ: چاهک اول Ladder M100 و سایر چاهک ها مربوط به نمونه های مختلف).



شکل ۳- الکتروفورز محصولات حاصل از هضم توسط آنزیم *BsuRI* در گاو های سیستانی (از سمت چپ: چاهک اول Ladder M50 و سایر چاهک ها مربوط به: حیوانات ۱ و ۵ هموزیگوت آلل C با چهار باند با اندازه ۸۳، ۱۰۴، ۱۵۲ و ۴۶۲ bp، حیوانات ۲، ۳، ۴، ۵، ۶ و ۷ هتروزیگوت AC پنج باند با اندازه های ۸۳، ۱۰۴، ۱۵۲، ۱۸۷ و ۴۶۲ bp و حیوان ۶ هموزیگوت آلل سه باند با اندازه ۱۵۲، ۱۸۷ و ۴۶۲ bp مشاهده شد). مطابق شکل ۳، نمونه ای که محصولات هضم آن دارای قطعات ۱۰۴، ۸۳، ۱۵۲ و ۴۶۲ bp، ژنو تیپ هموزیگوت CC، نمونه هایی که

انتظار (HE)<sup>۱۰</sup> و هتروزیگوستی مشاهده شده (HO)<sup>۱۱</sup> تعین کرد (Yeh و همکاران، ۱۹۹۹). اطلاعات مربوط به میزان هتروزیگوستی و هموزیگوستی در جدول ۲ ارائه شده است. میزان هتروزیگوستی مشاهده شده و مورد انتظار برای جایگاه ژن TFAM به ترتیب ۳۷ و ۵۰ درصد محاسبه گردید. از آن جایی که یک جایگاه ژنی با داشتن ۱۰ درصد هتروزیگوستی، چند-شکل محسوب می‌گردد (Botstein و همکاران، ۱۹۸۰؛ Joti ۲۰۰۸) بنابراین، می‌توان نشانگر تکثیر یافته را چندشکل در نظر گرفت. نتایج آزمون مریع کای ( $\chi^2$ ) و نسبت درستنمایی (G2) در جایگاه ژن TFAM انحراف از تعادل هاردی-وانبرگ را نشان داد ( $P < 0.05$ ) (جدول ۳). عدم تعادل در جایگاه ژن TFAM می‌تواند به دلیل کوچک بودن اندازه جمعیت، تعداد نمونه، پیش زمینه ژنتیکی حیوانات (نحوه تشکیل جمعیت پایه در گله‌های هسته) و روابط خویشاوندی بالا و همچنین به گزینی چندین ساله گاو سیستانی موجود در ایستگاه تحقیقاتی شهرستان زهک باشد.

شاخص شانون (I) بیانگر میزان تنوع ژنتیکی در هر جمعیت بر حسب درصد است، یعنی هر چه مقدار این شاخص به صفر نزدیک تر شود تنوع کم خواهد بود. میزان شاخص شانون (I) محاسبه شده برابر ۶۹ درصد بود که بیانگر بالا بودن تنوع در جمعیت مورد مطالعه است (جدول ۴). شاخص دیگری که برای تعیین میزان چندشکلی جایگاه موردن مطالعه برآورد گردید، شاخص PIC بود. بر اساس این شاخص (اگر مقدار PIC کمتر از ۰/۲۵ باشد میزان چندشکلی کم، اگر PIC بین ۰/۲۵ و ۰/۵۰ باشد چندشکلی متوسط و بالاتر از ۰/۵۰ میزان چندشکلی بالا خواهد بود (Botstein و همکاران، ۱۹۸۰). بنابراین، جایگاه فوق با محتوى چندشکلی برابر با ۰/۳۷ در حد متوسط قرار دارد (جدول ۴). میزان هتروزایگوستی برآورد شده به وسیله شاخص نئی (Nei) در جمعیت مورد بررسی ۰/۵۰ محاسبه شد (جدول ۴) که یکی دیگر از شاخص‌های تنوع ژنتیکی متوسط در جایگاه ژن TFAM در جمعیت گاو سیستانی می‌باشد.

<sup>10</sup> Expected heterozygosity

<sup>11</sup> Observed heterozygosity

دارای قطعات ۱۰۴، ۸۳، ۱۵۲، ۱۸۷ و ۴۶۲bp باشند ژنوتیپ هتروزیگوت AC و نمونه‌هایی که دارای قطعات ۱۵۲، ۱۸۷ و ۴۶۲bp بودند، ژنوتیپ هموزیگوت AA نامگذاری شدند. فراوانی ژنوتیپ‌های جایگاه TFAM و متعاقب آن فراوانی آللی در جدول ۲ ارائه شده است. در تحقیق حاضر ژنوتیپ هتروزیگوت AC با ۳۷ درصد بیشترین فراوانی را در بین سایر الگوها نشان داد. در تحقیق Ayres و همکاران (۲۰۱۰)، فراوانی ژنوتیپ‌های AA و CC در نژاد Nellore به ترتیب ۱۸ و ۸۱ درصد گزارش گردید. در نتایج Jiang و همکاران (۲۰۰۵) بر روی نسل F2 گاوهای دورگه Wagyu x Limousin که در ایالات متحده امریکا انجام گرفته، فراوانی ژنوتیپ‌های AA، AC و CC به ترتیب ۱۸ و ۳۲ درصد گزارش گردید که بیشترین فراوانی متعلق به ژنوتیپ هتروزیگوت AC می‌باشد. همچنین، در مطالعه فراوانی ژنوتیپ هتروزیگوت در جمعیت گاوها بر زیلی BOLA-DRB در جایگاه BOLA-DRB در جمعیت گاوها بر زیلی ۰/۹۰ (A=۰/۹۰ و C=۰/۱۰) گزارش شده است. نتایج تحقیق حاضر نشان دادند که فراوانی ژنی و ژنوتیپی جایگاه BOLA-DRB در جمعیت گاوها نژاد سیستانی مطالعه حاضر در حد واسطه دو جمعیت گاوها بر زیلی و امریکایی و مشابه گاوها آمیخته حاصل از تلاقی دو نژاد گاوهای Wagyu x Limousin قرار دارند که Bos Wagyu از نژادهای بومی کشور ژاپن و متعلق به گونه Bos Indicus هستند که توده گاوها سیستانی هم در همین جنس و گونه قرار دارد و لیموزین یکی از نژادهای اروپایی و متعلق به جنس و گونه Bos Taurus است. لذا دلیل شباهت ساختار ژنتیکی جایگاه مذکور در بین هیبریدهای حاصل از این دو نژاد با توده گاوها سیستانی احتمالاً مربوط به سرمنشاء اصلی نژادها و شرایط مشابه محیطی و سازگاری نژادهای گاو جهت ماندگاری در این شرایط است.

تنوع مبنای همه گرینش‌ها بوده و انتخاب ژنوتیپی نیز نیازمند تنوع می‌باشد. بدیهی است که با بالا رفتن تنوع ژنتیکی در یک جامعه حدود انتخاب نیز وسیع تر خواهد گردید. تنوع ژنتیکی در یک جایگاه را می‌توان با معیارهایی همچون هتروزیگوستی مورد

## ارتباط ژنوتیپ‌های جایگاه TFAM بر صفات مرتبط با رشد

میانگین حداقل مربعات اثرات ثابت جنس، سال تولد و ژنوتیپ-های مختلف جایگاه TFAM بر صفات مرتبط با رشد در جداول ۵ و ۶ ارائه شده است. در نتایج مقایسات میانگین حداقل مربعات، اثرات ژنوتیپ‌های مختلف بر صفات مرتبط با رشد تفاوت معنی‌داری بین ژنوتیپ‌های AA، AC و CC با صفات وزن تولد،<sup>۳</sup>  $P < 0.05$ . اگر چه از نظر عددی در بین ژنوتیپ‌های جایگاه TFAM، برای وزن تولد ژنوتیپ AC کمترین ( $24/00 \pm 8/6$ ) و ژنوتیپ CC بیشترین ( $25/74 \pm 9/8$ ) میانگین حداقل مربعات را دارد، اما ژنوتیپ AC برای وزن‌های  $3$  ماهگی و یک‌سالگی عملکرد بالاتری داشت، اما از نظر آماری معنی‌دار نبودند ( $P > 0.05$ ). همچنین، اختلافات معنی‌داری بین ژنوتیپ‌های مختلف با صفات افزایش وزن‌های دوره‌ای مشاهده نگردید ( $P > 0.05$ ).

مطالعه چندشکلی ژن TFAM در ناحیه D-Loop ژنوم Wagyu x Limousin F<sub>2</sub> شش میتوکندری گاو دورگه گزارش گردید که هاپلوتیپ‌های مختلف آن اثرات متفاوتی بر صفات رشد در جمعیت خوک داشتند (Kunej و Woodward، ۲۰۰۹).

نتایج به دست آمده از مطالعه ژنوتیپ‌های مختلف ژن TFAM با صفات رشد بر روی گاو گوشته نشان دادند که جهش نقطه‌ای در جایگاه پروموتور ژن TFAM با صفات رشد اثرات معنی‌دار دارد (Woodward، ۲۰۰۸). این دو جهش در ارتباط با عمق چربی

زیر پوست و چربی داخل عضله است که ضمن افزایش کیفیت گوشت موجب افزایش وزن آن نیز می‌گردد که در تضاد با نتایج حاصل از مطالعه حاضر در جمعیت گاو سیستانی است که دلیل آن احتمالاً به واسطه اثرات اپی ژنتیکی (نواحی متیلاسیون) و تاثیر تعداد و اثرات جایگاه‌های مختلف ژنی بر صفات رشد می‌باشد. در مطالعه آمیخته‌های حاصل از تلاقی نژاد x Wagyu Limousin گزارش گردید، جهش در ناحیه پروموتور جایگاه TFAM مربوط به آلل C است، به طوری که ژنوتیپ CC اثر مطلوب‌تری بر کمیت و کیفیت صفات رشد نسبت به سایر ژنوتیپ‌ها نشان می‌دهد (Jiang و همکاران، ۲۰۰۵) و با نتایج تحقیق حاضر متفاوت است. تحقیق بر روی گاو نژاد نیلور برزیلی اختلاف معنی‌داری بین صفات رشد و ژنوتیپ‌های مختلف جایگاه ژن TFAM نداشت (Ayres و همکاران، ۲۰۱۰) که با نتایج مطالعه اخیر مطابقت دارد.

### نتیجه گیری و پیشنهادات

جایگاه ژنی TFAM در جمعیت گاو سیستانی دارای چندشکلی متوسط بود و هر سه ژنوتیپ ممکن‌های شامل AA، AC و CC مشاهده گردید، اما ژنوتیپ‌های جایگاه مذکور تاثیری بر صفات وزنی و افزایش وزن‌های دوره‌ای از تولد تا یک‌سالگی نداشت. لذا با توجه به نقش مهم جایگاه ژنی TFAM بر متابولیسم چربی و ذخیره آن‌ها پیشنهاد می‌گردد در تحقیقات آینده ارتباط ژنوتیپ‌های جایگاه فوق با صفات کیفی لашه مورد بررسی قرار گیرد.

جدول ۲- فراوانی ژنوتیپی و آللی، محصولات هضم آنزیم *BsuRI* جایگاه ژن TFAM در گاوهاي سیستانی

فرابانی مورد انتظار	فرابانی مشاهده شده	تعداد	ژنوتیپ
۰/۲۸	۰/۳۴	۵۰	AA
۰/۵۰	۰/۳۷	۵۶	AC
۰/۲۲	۰/۲۹	۴۴	CC
درصد فرابانی آلل ها			آلل ها
	۵۳		A
	۴۷		C

جدول ۳- نتایج آزمون بررسی تعادل هاردی\_واینبرگ جایگاه ژن TFAM در جمعیت گاو سیستانی

حداکثر درستنمایی (G2)	کای اسکور ( $\chi^2$ )	جایگاه ژنی TFAM
۲	۲	درجه آزادی
۳/۹۱	۸۷.۳	مجموع مربعات
۰/۰۴۸	۰/۰۴۹	p-Value

جدول ۴- نتایج خلاصه‌ای از معیارهای تنوع ژنتیکی جایگاه ژن TFAM در جمعیت گاو سیستانی

آماره F	تعداد آلل مؤثر	تعداد آلل	شاخص نئی	محتوی اطلاعات چندشکلی (PIC)	شاخص شان	شاخص های تنوع ژنتیکی
۰/۸۱	۱/۹۹	۲	۰/۴۹	۰/۳۷	۰/۶۹	برآوردها

## جدول ۵- میانگین حداقل مربعات اثرات ثابت جنس، سال تولد و ژنوتیپ‌های جایگاه TFAM بر صفات وزنی (کیلوگرم)

میانگین حداقل مربعات $\pm$ خطای استاندارد					منابع تغیرات
وزن یکسالگی	وزن نه ماهگی	وزن شش ماهگی	وزن سه ماهگی	وزن تولد	
جنس					
۱۳۵/۴۱ $\pm$ ۶/۵	۱۰۸/۱۱ $\pm$ ۴/۵۲	۸۳/۲۹ $\pm$ ۳/۳۷	۵۷/۰۳ $\pm$ ۳/۲۹	۲۵/۹۷ $\pm$ ۰/۸۲	نر
۱۳۱/۵۵ $\pm$ ۵/۹	۱۰۵/۵۸ $\pm$ ۴/۱۶	۸۶/۸۴ $\pm$ ۳/۲۲	۵۵/۳۶ $\pm$ ۲/۹۱	۲۳/۴۷ $\pm$ ۰/۷۵	ماده
۰/۶	۰/۶	۰/۴	۰/۶	*۰/۰۲	p-Value
سال تولد					
۱۳۷/۲۵ $\pm$ ۱۰/۲۳	۱۰۸/۸۴ $\pm$ ۷/۱۸	۸۸/۱۴ $\pm$ ۵/۶۴	۵۷/۷ $\pm$ ۶/۲۴	۲۵/۲۸ $\pm$ ۱/۳	۸۹
۱۲۹/۱۸ $\pm$ ۵/۵۲	۱۰۵/۰۸ $\pm$ ۳/۸۷	۸۲/۱۳ $\pm$ ۲/۸۶	۵۴/۸ $\pm$ ۲/۳۷	۲۴/۵۹ $\pm$ ۰/۷۰	۹۰
۱۳۴/۰۲ $\pm$ ۷/۷۴	۱۰۶/۶۳ $\pm$ ۵/۲۵	۸۴/۹۳ $\pm$ ۳/۸۸	۵۶/۰۸ $\pm$ ۳/۲۲	۲۴/۳ $\pm$ ۰/۹۵	۹۱
۰/۷	۰/۸	۰/۶	۰/۸	۰/۸	p-Value
ژنوتیپ					
۱۲۶/۸۶ $\pm$ ۷/۴۳	۱۰۲/۲۱ $\pm$ ۵/۰۲	۸۳/۰۴ $\pm$ ۳/۹۲	۵۵/۳۴ $\pm$ ۳/۶	۲۴/۴۳ $\pm$ ۰/۹۱	AA
۱۳۸/۳۷ $\pm$ ۶/۷۵	۱۰۷/۸۲ $\pm$ ۴/۷۷	۸۴/۸۶ $\pm$ ۳/۵۱	۵۷/۳ $\pm$ ۳/۲۱	۲۴ $\pm$ ۰/۸۶	CA
۱۳۵/۲۱ $\pm$ ۸/۶۹	۱۱۹/۸۱ $\pm$ ۵/۳۹	۸۷/۳ $\pm$ ۴	۵۵/۸۸ $\pm$ ۳/۶۷	۲۵/۷۴ $\pm$ ۰/۹۸	CC
۰/۴	۰/۴	۰/۷	۰/۸	۰/۳	p-Value
*سطح معنی داری $P<0.05$					

## جدول ۶- میانگین حداقل مربعات اثرات ثابت جنس، سال تولد و TFAM بوصفات افزایش وزن دوره‌ای (کیلوگرم)

میانگین حداقل مربعات $\pm$ خطای استاندارد				منابع تغیرات
افزایش وزن نه تا داوزده ماهگی	افزایش وزن شش تا نه ماهگی	افزایش وزن از سه تا شش ماهگی	افزایش وزن از تولد تا سه ماهگی	
جنس				
۰/۳۱ $\pm$ ۰/۰۴۱	۰/۲۷ $\pm$ ۰/۰۲۷	۰/۲۷ $\pm$ ۰/۰۳۵	۰/۳۵ $\pm$ ۰/۰۳۵	نر
۰/۲۹ $\pm$ ۰/۰۳۸	۰/۲۱ $\pm$ ۰/۰۲۶	۰/۳۴ $\pm$ ۰/۰۳۱	۰/۳۶ $\pm$ ۰/۰۳۱	ماده
۰/۶	۰/۰۸	۰/۱۱	۰/۸	p-Value
سال تولد				
۰/۳۱ $\pm$ ۰/۰۶۵	۰/۲۳ $\pm$ ۰/۰۴۶	۰/۳۱ $\pm$ ۰/۰۶۷	۰/۳۷ $\pm$ ۰/۰۶۷	۸۹
۰/۲۶ $\pm$ ۰/۰۳۵	۰/۲۵ $\pm$ ۰/۰۲۳	۰/۳۰ $\pm$ ۰/۰۲۵	۰/۳۵ $\pm$ ۰/۰۲۵	۹۰
۰/۳۲ $\pm$ ۰/۰۴۹	۰/۲۴ $\pm$ ۰/۰۳۱	۰/۳۲ $\pm$ ۰/۰۳۴	۰/۳۵ $\pm$ ۰/۰۳۴	۹۱
۰/۶	۰/۹	۰/۸	۰/۸	p-Value
ژنتیپ				
۰/۲۹ $\pm$ ۰/۰۴۷	۰/۲۱ $\pm$ ۰/۰۳۲	۰/۳۱ $\pm$ ۰/۰۳۸	۰/۳۵ $\pm$ ۰/۰۳۸	AA
۰/۳۴ $\pm$ ۰/۰۴۳	۰/۲۵ $\pm$ ۰/۰۲۸	۰/۲۸ $\pm$ ۰/۰۳۴	۰/۳۷ $\pm$ ۰/۰۳۴	CA
۰/۲۷ $\pm$ ۰/۰۴۹	۰/۲۶ $\pm$ ۰/۰۳۲	۰/۳۴ $\pm$ ۰/۰۳۹	۰/۳۳ $\pm$ ۰/۰۳۹	CC
۰/۵	۰/۵	۰/۵	۰/۷	p-Value

\*سطح معنی داری  $P<0.05$

### منابع

DNA content in mature human sperm. *Human Reproduction*. 22: 1585-1596.

Ayres D. R., Souza F. R. P., Mercadante M. E. Z., Fonseca L. F. S., Tonhati H., Cyrillo J. N. S. G., Bonilha S. F. M. and Albuquerque L. G. (2010). Evaluation of TFAM and FABP4 gene polymorphisms in three lines of Nellore cattle selected for growth. *Genetics and Molecular Research*. 9:2050-2059.

بیر جندی، م. ر. (۱۳۷۶). بررسی وضعیت پرورش و تعیین توان تولید شیر و خصوصیات شیرواری گاو سیستانی در منطقه سیستان. چکیده طرح های تحقیقاتی وزارت جهاد سازندگی (جلد دوم). ص ۳۶۸-۳۷۰. وزارت جهاد سازندگی.

Ahmetov, I. I., Popov D. V., Missina S. S., Vinogradova O. L. and Rogozkin V. A. (2010). Association of Mitochondrial Transcription Factor (TFAM) gene polymorphism with physical performance in Athletes. *Human Physiology*. 36: 229-233.

Amaral A., Ramalho-Santos J. and John J. C. (2007). The expression of polymerase gamma and mitochondrial transcription factor A and the regulation of mitochondrial

- Beltinger C., Fulda S., Kammertoens T., Uckert A. and Debatin K. M. (2000). Mitochondrial Amplification of Death Signals Determines Thymidine Kinase. *Ganciclovir-triggered Activation of Apoptosis*. 60:3212-3217.
- Botstein D., White R. L., Skolnick M. and Davis R. W. (1980). Construction of a genetic-linkage map using restriction fragment length polymorphisms. *American Journal of Human Genetic*. 32: 314-331.
- Chan D. C., Ngo H. B. and Kaiser J. T. (2012). TFAM, a mitochondrial transcription and packaging factor, imposes a U-turn on mitochondrial DNA. *Nature Structure Molecular Biology*. 18: 1290-1296.
- Clayton D. A. (2000). Transcription and replication of mitochondrial DNA. *Human Reproduction*. 15: 11-17.
- Dimauro S. and Schon E. A. (2001). Mitochondrial DNA genetic pandoras. *American Journal of Medical Science*. 16: 103-116.
- Fisher R. P. and Clayton D. A. (1988). Purification and characterization of human mitochondrial transcription factor 1. *Molecular Cell Biology*. 8: 3496-509.
- Jiang Z., Kunej T., Michal J. J., Gaskins C. T., Reeves J. J., Busboom J. R., Dove P. and Wright-RW J. R. (2005). Significant associations of the mitochondrial transcription factor A promoter polymorphisms with marbling and subcutaneous fat depth in Wagyu x Limousin F2 crosses. *Biochemical Biophysical Research Communication*. 334: 516-523.
- Jothi M. P. (2008). Genetic distance and phylogenetic inference. Course notes, University of Putra, Malaysia.
- Kaplanová K., Dvořák J. and Urban T. (2009). Association of single nucleotide polymorphisms in TG, LEP and TFAM genes with carcass traits cross-breed cattle. *Biologie Zivacichu*. 4: 647-651.
- Kunej T., Wu X. L., Michal J. J., Berlic T. M. Jiang Z. and Dovc P. (2009). The Porcine Mitochondrial Transcription Factor a Gene: Molecular Characterization, Radiation Hybrid Mapping and Genetic Diversity among 12 Pig Breeds. *American Journal of Animal and Veterinary Science*. 7: 129-135.
- SAS Institute Inc, Statistics. (System for Mixed Models. (2009). SAS Institute Inc., Cary. NC. USA. [sasdoe@wnt.sas.com](mailto:sasdoe@wnt.sas.com).
- Wilson D. E., Rouse G. H., Graser G. H. and Amim V. (1998). Prediction of carcass traits using live animal ultrasound. In: *Beef Research Report*. Amsterdam Iowa State University, 7: 1-7.
- Woodward B. (2008). Polymorphisms in mitochondrial transcription factor A ("TFAM") gene and their associations with carcass traits. *Patent Application Publication*. 56: 1-56.
- Yeh F. C., Yang R. C. and Boyle T. (1999). Popgene version 1.31. Microsoft window-based freeware for population genetic analysis. University of Alberta and Centre for International Forestry Research. In *Water Catchments Systems*. 416-432 pp.

• • • • • • • • •